

I-170 車両横荷重を受ける橋梁の運動的挙動に関する研究

山口大学 正員 倉田忠義
“ 学生員 小松茂生

まえがき 走行列車の蛇行動・ヨーイングとともにレールに作用する横荷重は比較的大きく、設計においては、旅客車・高速貨車・電気機関車・ディーゼル機関車などは1台車当たりの車両重量の15%，一般貨車などは25%の横力がレール面に橋軸に直角方向に作用するものとされていて。これらの横荷重はレール面に水平に作用することから梁のねじりにヒモもないその作用方向が一部回転する旋回動力になることが予想される。この他、従動性の横荷重としては、磁気浮上式鉄道車両のヨーイングにともなう横荷重が考えられる。本研究は周期性旋回荷重が水平に作用し、かつ、橋軸方向に移動する場合を想定し梁の運動的挙動を明らかにしようとするもので、荷重は連続するとして、運動方程式を求めた。運動方程式はHill型方程式となり、不安定振動の生ずることが明らかになつた。振動が不安定となる境界における振動数方程式をBolotinの方法によつて求めた。

運動方程式 Fig. 2に示す8sが梁のねじりθによってその作用方向が変化するとき、8xの方向に8xθなる荷重も生ずる。このとき、運動方程式は次式となる。

$$\left. \begin{aligned} m(\ddot{U}_s + y_s \dot{\theta}) + EI_{xx} \ddot{U}_s - 8x = 0 \\ m(\ddot{U}_s - x_s \dot{\theta}) + EI_{yy} \ddot{V}_s - 8x\theta = 0 \\ M_{ps} \ddot{\theta} + m(y_s \ddot{U}_s - x_s \ddot{U}_s) + EI_w \ddot{\theta} - GK\theta \\ - 8x\theta(e_x - x_s) + 8x(v_y - y_s) = 0 \end{aligned} \right\} \quad \dots (1)$$

ここで、
 m : 梁の単位長さ質量、
 M_{ps} : 構造モーメント、
 EI_{xx} および
 EI_{yy} : 曲げ剛性、
 EI_w : 曲げねじり剛性、
 GK : ねじり剛性、
 $(\cdot)' = \frac{d}{dt}$ 、
 $8x$ は速度 V 、荷重間隔 a の運行集中荷重 $P \cos \omega t$
 $(\omega$: 荷重振動数、 t : 時刻) を表すことを (Fig. 3 参照)、

$$8x = \begin{cases} P \cos \omega t \sum_{j=1}^n (-1)^j \delta(z - \xi(t, j)) & 0 \leq t < T_{01} \\ P \cos \omega t \sum_{j=1}^{n-1} (-1)^j \delta(z - \xi(t, j)) & T_{01} \leq t < T_{02} \\ P \cos \omega t \sum_{j=1}^{n-2} (-1)^j \delta(z - \xi(t, j) - a) & T_{02} \leq t < T_{03} \\ P \cos \omega t \sum_{j=1}^{n-3} (-1)^j \delta(z - \xi(t, j) - a) & T_{03} \leq t < T_{04} \\ P \cos \omega t \sum_{j=1}^{n-4} (-1)^j \delta(z - \xi(t, j) - 2a) & T_{04} \leq t \leq T_p \end{cases} \quad \dots (2)$$

式中、
 δ : Diracのδ関数、
 $\xi(t, j) = vt + (j-1)a + a_0$ 、
 $T_p = 2\pi/\omega$
 $T_{01} = \{l - (n-1)a - a_0\}/v$ 、
 $T_{02} = (a - a_0)/v$ 、
 $T_{03} = \{l - (n-2)a - a_0\}/v$ 、
 $T_{04} = (2a - a_0)/v$ 、
 $v = \omega/a$ 、
 $\omega = \alpha \omega_0$ 、
 α : 整数、
 $\omega_0 = \pi/v$ とする。
 列車蛇行動の場合は $\alpha = 1$ に対応する。

運動方程式 (1) の近似解に式 (3) を用いる。式中、
 P_R 、 Θ_R および
 U_{RK} は時間の未知関数、
 U_{SK} および V_{RK} は梁の曲げのたびごとの固有関数、
 Θ_R はねじりのたびごとの固有関数で、単純梁の場合には
 $U_{SK} = V_{SK} = \Theta_R = \sin R\pi z/l$ である。式 (3) に代入整理すると、次式となる。

$$\ddot{P}_R + y_s \ddot{\Theta}_R + \omega_{UR}^2 P_R - \frac{ZP}{\rho m} g_{R(t)} = 0, \quad \ddot{\Theta}_R - x_s \ddot{U}_R + \ddot{W}_{UR} - \frac{ZP}{\rho m} \sum_{i=1}^N f_{ki}(t) \quad i = 0 \quad \dots (3)$$

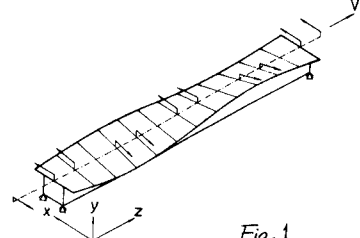


Fig. 1

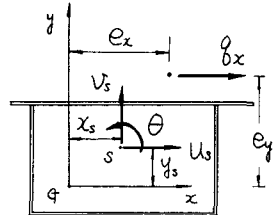


Fig. 2

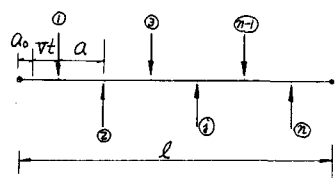


Fig. 3

$$\ddot{\zeta}_R + \frac{m}{M_{ps}} (y_s \ddot{\rho}_R - x_s \ddot{\zeta}_R) + \omega_R^2 \zeta_R - \frac{ZPC(x_s - x_0)}{M_{ps} L} \sum_{i=1}^N f_{ki}(t) \zeta_i + \frac{ZPC(y_s - y_0)}{M_{ps} L} g(t) = 0 \quad R=1, 2, \dots, N \quad (4)$$

$$z = z^*, \quad W_{0R} = (\frac{K\pi}{L})^2 \sqrt{EI_{xx}/m}, \quad W_{0R} = (\frac{K\pi}{L})^3 \sqrt{EI_{yy}/m}, \quad W_{0R} = \sqrt{(K\pi/L)^4 EI_w^3 + (K\pi/L)^3 GK^2} / M_{ps}$$

$$f_{ki}(t) = \frac{1}{T_p} \int_0^{T_p} \delta z U_{ki} U_{si} ds, \quad g(t) = \frac{1}{T_p} \int_0^{T_p} g_{ki} U_{ki} ds \quad (5)$$

式(4)は $3N$ 元の連立方程式となるので、マトリックス表示するヒミツ式となる。

$$A \ddot{\zeta} + (B + PC(t)) \zeta + Pd = 0 \quad (6), \quad \zeta = \{p_1, p_2, \zeta_1, \zeta_2, \zeta_3\}^T \quad (7)$$

A:マスマトリックス, B:対角線に W_{0R}^2 , W_{0R}^3 , W_{0R} のマトリックス, C(t):荷重の変動によるマトリックスで、連行荷重の場合, $T_p = 2\pi/\omega$ なる周期をもつ関数となる。d:荷重項を表す。

慣性方程式と境界振動数方程式 連続(片水平の微動横荷重を受けて定常振動(定常解をもつ)する状態に小正の搅乱(フリクション)を与えると、フリクションに対する慣性方程式 $A \ddot{\zeta} + (B + PC(t)) \zeta = 0$ … (8)

が得られる。 $z = z^*$, f_{ki} を周期 $T_p = 2\pi/\omega$ とし Fourier 級数

$$f_{ki} = \frac{1}{T_p} \int_0^{T_p} a_{ki} + \sum_{n=1}^{\infty} (a_{pn} \cos n\omega t + b_{pn} \sin n\omega t) \quad (9)$$

とおぼすとき、慣性方程式(8)は次の Hill 型の方程式になる。

$$A \ddot{\zeta} + B \zeta + P \{C_0 + \sum_{n=1}^{\infty} (C_{pn} \cos n\omega t + C_{qn} \sin n\omega t)\} \zeta = 0 \quad (10)$$

Hill 方程式の解は(1)と(2)の周期と同じく、あるいは、2倍の周期をもつ周期解がペラメータ平面上にあり、安定領域と不安定領域を区分する。より厳密にいって、同じ周期をもつ2つの解が不安定領域を区分し、異なる周期をもつ解が安定領域を区分するこれが知られてる。

$$C \text{ の周期 } T_p = 2\pi/\omega \text{ もしくは } 2T_p \text{ も } \text{ 周期解 } \ddot{\zeta} = \sum_{s=1,3}^{\infty} (a_s \cos \frac{s}{2}\pi \omega t + b_s \sin \frac{s}{2}\pi \omega t) \quad (11)$$

を式(11)で表す。 a_s, b_s : 時間に無関係なベクトル。式(11)を(10)に代入(調和バランス法を適用すると、 a_s, b_s を求めための同次方程式が得られる。この同次方程式より a_s, b_s が存在するための条件、すなわち、境界振動数方程式(12) $[-\frac{1}{2}W_0[A]_1 + [B]_1 + \frac{1}{2}P[C]_1] = 0 \dots (12)$ が得られる。

$$+ s^2 K, \text{ 式(10)の周期 } T_p \text{ を } t \text{ と } \ddot{\zeta} = \frac{1}{T_p} a_0 + \sum_{s=3,5}^{\infty} (a_s \cos \frac{s}{2}\pi \omega t + b_s \sin \frac{s}{2}\pi \omega t) \dots (13)$$

周期解を式(13)で表すとき、同様に(1)、(2)の境界振動数方程式が得られる。

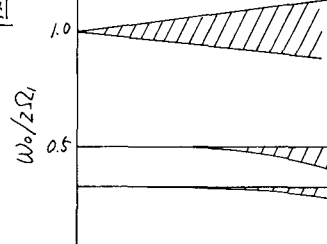
$$[-\frac{1}{2}W_0[A]_2 + [B]_2 + \frac{1}{2}P[C]_2] = 0 \dots (14)$$

式(12)、(14)中の $[A]_1, [B]_1, [C]_1, [A]_2, [B]_2, [C]_2$ はそれらの内容をもつ。

$$[A]_1 = \begin{bmatrix} 3^3 A & & \\ 1^3 A & \ddots & \\ & \ddots & 3^3 A \end{bmatrix}, \quad [B]_1 = \begin{bmatrix} B & & \\ B & \ddots & \\ & \ddots & B \end{bmatrix}, \quad [C]_1 = \begin{bmatrix} -(2C_0 + C_{12})(C_{11} + C_{12}) & C_{23} & \dots \\ -(C_{11} + C_{12})(2C_0 + C_{11}) & C_{21} & (C_{22} + C_{21}) \dots \\ -(C_{22} - C_{21}) & C_{21} & (2C_0 - C_{11})(C_{11} - C_{12}) \dots \\ \vdots & C_{23} & (C_{22} + C_{21})(C_{11} - C_{12})(2C_0 - C_{13}) \dots \end{bmatrix},$$

$$[A]_2 = \begin{bmatrix} 4^3 A & & \\ 2^2 A & \ddots & \\ 0 & \ddots & 2^2 A \\ & \ddots & 4^3 A \end{bmatrix}, \quad [B]_2 = \begin{bmatrix} B & & \\ B & \ddots & \\ & \ddots & B \\ & \ddots & B \end{bmatrix}$$

安定図



$$[C]_2 = \begin{bmatrix} -(2C_0 + C_{14})(C_{11} + C_{13}) & C_{12} & (C_{33} - C_{11}) & C_4 & \dots \\ -(C_{11} + C_{13})(2C_0 + C_{12}) & C_{11} & C_{22} & (C_{33} + C_{21}) \dots \\ \vdots & C_{12} & C_{11} & C_{21} & C_{22} \dots \\ -(C_{23} - C_{21}) & C_{22} & C_{21} & (2C_0 - C_{12})(C_{11} - C_{13}) \dots \\ \vdots & C_{24} & (C_{23} + C_{21}) & C_{22} & (C_{11} - C_{13})(2C_0 - C_{14}) \dots \end{bmatrix}$$

$$P_* = P / \{EI_w^3(\pi/L)^4 + GK(\pi/L)^3\}$$

1) $\pi/2 \rightarrow \infty$: 弹性系の動的安定(近藤・中田説)
コロナ社, P.15, 昭和46年